

MODELAGEM MATEMÁTICA E CONTROLE DE ATITUDE E POSIÇÃO DO QUADROTOR.

Tayara Crystina Pereira Benigno¹; Milena Carolina dos Santos Mangueira²; Nallyson Tiago Pereira da Costa³; Francisca Joedna Oliveira Souza⁴

¹ Mestre do Programa de Pós-Graduação em Sistemas de Comunicação e Automação da Universidade Federal Rural do Semi-Arido-UFERSA (tayara0703@gmail.com). ² Graduanda de Licenciatura em Matemática da Universidade do Estado do Rio Grande do Norte- UERN (milencarolina24@gmail.com). ³ Graduando de Licenciatura em Matemática da Universidade do Estado do Rio Grande do Norte- UERN (nallyson1304@gmail.com). ⁴ Graduanda de Licenciatura em Matemática da Universidade do Estado do Rio Grande do Norte- UERN, (joedna-souza13@gmail.com).

Quebra de seção contínua

Resumo. Com o avanço tecnológico e a popularização do uso dos Veículos Aéreos Não Tripulados (VANT's) cresce também a necessidade do uso de técnicas de controle mais robustas e mais eficazes. Dentre os mais diversos tipos de veículos aéreos não tripulados, este trabalho irá focar no modelo do *quadrotor*. O *quadrotor* é um veículo aéreo não tripulado, composto por uma estrutura mecânica em forma de x, onde suas extremidades possuem um conjunto motor e hélice, a rotação desse conjunto é responsável pela força de sustentação e pelos movimentos desenvolvidos pelo quadrotor em virtude da conservação de movimento angular. O presente trabalho tem como objetivo realizar a modelagem matemática deste sistema usando as equações de Euler-Lagrange. Inúmeros trabalhos já foram publicados sobre o controle destes VANT's, mas boa parte desses trabalhos é dedicada apenas ao sistema de controle da aeronave, não dando ênfase a modelagem matemática da sua estrutura. É importante obter uma modelagem matemática precisa e detalhada, para serem usadas na construção de um sistema de controle no simulador, utilizando o Matlab/Simulink. A modelagem matemática visa melhores resultados em relação à dinâmica da aeronave e consequentemente melhorando seu desempenho. A metodologia adotada foi pesquisa bibliográfica sobre as técnicas de derivação das equações de movimento do quadrotor tipo *Xquad* e sua modelagem. O modelo obtido será comparado com outros modelos matemáticos encontrados na literatura e os resultados serão comparados, para confirmar a validação do método de modelagem e técnica estudada e apresentada no decorrer deste trabalho.

Palavras-chave. Quadrotor; Lagrange-Euler; Modelagem matemática.

Quebra de seção contínua

1 Introdução

Um VANT (veículo aéreo não tripulado) constitui-se em uma aeronave que não necessita de um piloto embarcado para pilotá-la [5]. Os VANT's têm o seu surgimento na Primeira Guerra Mundial (1917), e devido às dificuldades técnicas da época, eram pouco confiáveis e imprecisos. Nas últimas décadas, as pesquisas científicas envolvendo veículos aéreos não tripulados (VANT) têm crescido significativamente ao redor do mundo, visando diversas aplicações como, coleta de informação (imagens, busca, pesquisa e reconhecimento), de segurança, vigilância, aplicações agrícolas, gestão de tráfego.

A análise dos projetos desses veículos aéreos pode ser realizada através da dinâmica de sistemas multicorpos. A modelagem de tal sistema pode ser realizada pelo formalismo das equações de Euler-Lagrange [7]. Esse formalismo é uma forma de obtenção das equações do movimento e com isso possibilita a análise dinâmica do movimento.

2 Modelagem dinâmica

2.1 Ângulos Euler

Os ângulos de Euler são aplicados em diferentes aplicações de dinâmica de corpos rígidos, entre estes, o quadrotor. Considerando o sistema de coordenadas inercial X_e, Y_e, Z_e , como referência, e outro sistema de coordenadas locais X_b, Y_b, Z_b que se relaciona com esse sistema fixo, o qual é livre para se movimentar de acordo com o corpo rígido.

Os ângulos de Euler serão obtidos por meio de uma relação entre tais sistemas, o inercial e o local. Sendo o ângulo θ aquele formado entre os eixos z_e e z_b . Já os ângulos ϕ e

Ψ são determinados a partir de um eixo ON resultado da interseção do plano (x_b, y_b) , com o plano (x_e, y_e) , ilustrado na figura 1. Assim, o ângulo

formado entre x_e e eixo ON é chamado ϕ , já aquele formado entre y_e e o eixo será determinado por ψ . Dessa forma seriam obtidos os ângulos de Euler [2].

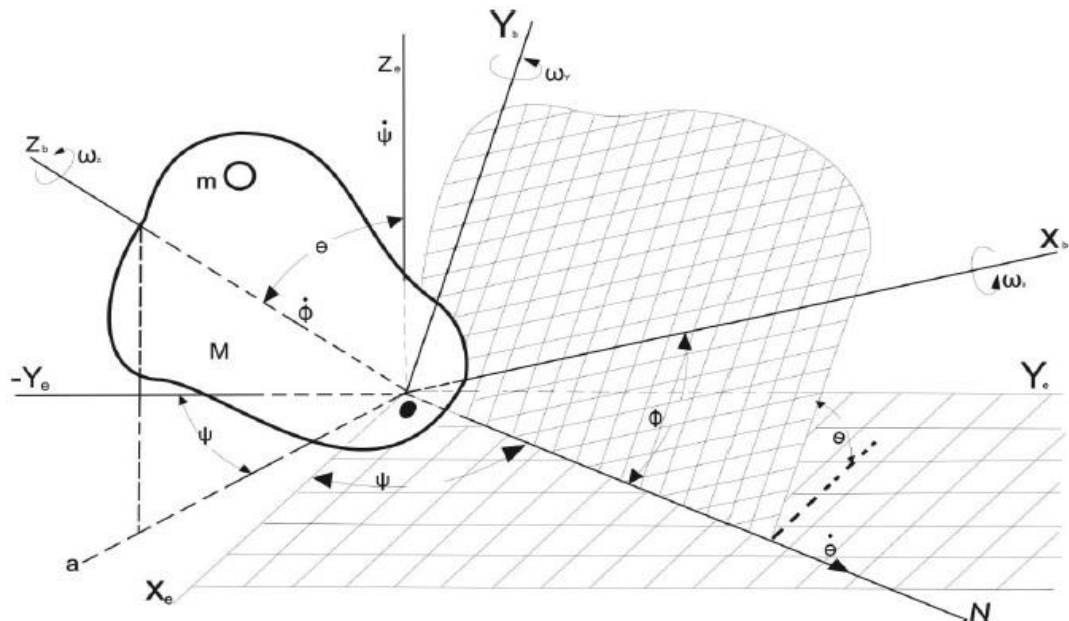


Figura 1- Ângulos de Euler (Fonte: Wells (1967))

A descrição de orientação de um corpo rígido no espaço deve ser fornecida a partir de três coordenadas independentes, a obtenção dessas coordenadas não são únicas [6]. Neste trabalho foi usada uma relação obtida a partir dos ângulos de Euler.

2.2 Equações de Euler-Lagrange

A equação de Euler- Lagrange descreve o comportamento de um sistema dinâmico em termos de suas coordenadas generalizadas, sejam q_1, \dots, q_n , as coordenadas generalizadas que traduzem o sistema dinâmico [1], onde T e U são as energias cinética e potencial, respectivamente, a equação Lagrangeana é definida por

$$L = (q, \dot{q}) = T - U \quad (2.1)$$

Como energia cinética e potencial são funções das coordenadas generalizadas e suas

derivadas temporais, a equação Lagrangeana é a função dessas variáveis, logo

$$\frac{d}{dt} \left(\frac{\partial L}{\partial \dot{q}_i} \right) - \frac{\partial L}{\partial q_i} \quad (2.2)$$

O quadrotor possui seis graus de liberdade, os quais são representados em coordenadas generalizadas

$$Q = [\Omega, \xi] = [x, y, z, \phi, \theta, \psi] \in \mathbb{R}^6 \quad (2.3)$$

Onde,

$\Omega = [x, y, z] \in \mathbb{R}^3$, corresponde ao deslocamento longitudinal, lateral e normal segundo o referencial inercial.

$\xi = [\phi, \theta, \psi] \in \mathbb{R}^3$, referencial em função dos três ângulos de Euler, ϕ é o ângulo roll (rolagem), θ é o ângulo pitch (arfagem) e ψ é o ângulo yaw (guinada).

$w = [p, q, r] \in \mathbb{R}^3$, velocidade angular.

O quadrotor apresenta um movimento de rotação com relação aos seus eixos, e um movimento de translação em relação a sua posição, assim baseado na equação (2.1) a equação Lagrangeana para o sistema do quadrotor é a equação a seguir

$$L(q, \dot{q}) = T_{trans} + T_{rot} - U \quad (2.4)$$

Onde vamos considerar

$$\begin{aligned} T_{trans} &= \frac{m}{2} \dot{\Omega}^t \cdot \dot{\Omega} \\ &= \frac{m}{2} [\dot{x} \ \dot{y} \ \dot{z}] \cdot \begin{bmatrix} \dot{x} \\ \dot{y} \\ \dot{z} \end{bmatrix} \\ &= \frac{m}{2} (\dot{x}^2 + \dot{y}^2 + \dot{z}^2), \text{ energia cinética translacional.} \end{aligned}$$

$$\mathbf{T}_{\text{rot}} = \frac{1}{2} \mathbf{w}^t \cdot \mathbf{I} \cdot \mathbf{w}$$

$$= \frac{1}{2} [p \ q \ r] \cdot \begin{bmatrix} I_{xx} & 0 & 0 \\ 0 & I_{yy} & 0 \\ 0 & 0 & I_{zz} \end{bmatrix} \cdot \begin{bmatrix} p \\ q \\ r \end{bmatrix}, \text{ energia cinética rotacional.}$$

$$U = mgz, \text{ energia potencial do sistema.}$$

Então a equação de Lagrange esta definida por

$$L(q, \dot{q}) = \frac{m}{2} [\dot{x} \ \dot{y} \ \dot{z}] \cdot \begin{bmatrix} \dot{x} \\ \dot{y} \\ \dot{z} \end{bmatrix} + \frac{1}{2} [\dot{\phi} - \dot{\psi} s \theta \quad \dot{\theta} c \phi + \dot{\psi} s \phi c \theta \quad -\dot{\theta} s \phi + \dot{\psi} c \phi c \theta].$$

$$\begin{bmatrix} I_{xx} & 0 & 0 \\ 0 & I_{yy} & 0 \\ 0 & 0 & I_{zz} \end{bmatrix} \cdot \begin{bmatrix} \dot{\phi} - \dot{\psi} s \theta \\ \dot{\theta} c \phi + \dot{\psi} s \phi c \theta \\ -\dot{\theta} s \phi + \dot{\psi} c \phi c \theta \end{bmatrix} - mgz$$

$$= \frac{m}{2} (\dot{x}^2 + \dot{y}^2 + \dot{z}^2) + \frac{1}{2} [(\dot{\phi} - \dot{\psi} s \theta) I_{xx} \quad (\dot{\theta} c \phi + \dot{\psi} s \phi c \theta) I_{yy} \quad \dot{\psi} c \phi c \theta - \dot{\theta} s \phi].$$

$$\begin{bmatrix} \dot{\phi} - \dot{\psi} s \theta \\ \dot{\theta} c \phi + \dot{\psi} s \phi c \theta \\ \dot{\psi} c \phi c \theta - \dot{\theta} s \phi \end{bmatrix} - mgz$$

$$= \frac{m}{2} (\dot{x}^2 \dot{y}^2 \dot{z}^2) + \frac{1}{2} [(\dot{\phi} - \dot{\psi} s \theta)^2 I_{xx} + (\dot{\theta} c \phi + \dot{\psi} s \phi c \theta)^2 I_{yy} + (\dot{\psi} c \phi c \theta - \dot{\theta} s \phi)^2 I_{zz}]$$

$$- mgz$$

(2.5)

Nota: estamos usando $s = \text{seno}$, $c = \text{cosseno}$.

Usando a equação de Lagrangeana, teremos as equações do movimento do sistema dinâmico

$$\begin{bmatrix} \mathbf{f} \\ \boldsymbol{\tau} \end{bmatrix} = \frac{d}{dt} \left[\frac{\partial L}{\partial \dot{\mathbf{q}}} \right] - \frac{\partial L}{\partial \mathbf{q}}$$

(2.6)

Onde $\mathbf{f} = \mathbf{R} \cdot \mathbf{F}$, é a forma de translação aplicada para cada uma das componentes (X, Y, Z), F é a força aplicada ao veículo, R é a matriz de rotação, τ são os momentos correspondentes aos ângulos de Euler, portanto a orientação do helicóptero será definida pela matriz de orientação, a qual relaciona o movimento nos eixos com os três ângulos de *Euler* [1].

2.3 Dinâmica do quadrotor

A orientação de um corpo rígido pode-se obter utilizando diversos métodos. A orientação relativa ao sistema de coordenadas mais utilizado para aplicações de engenharia aéreas espaciais é chamada como ângulos de Tait-Brijan [4]. Assim, esses ângulos são formados por três ângulos (neste caso ângulos de Euler) para descrever a rotação geral do espaço, através de três rotações sucessivas em torno dos eixos do sistema no qual ficam definidos [4].

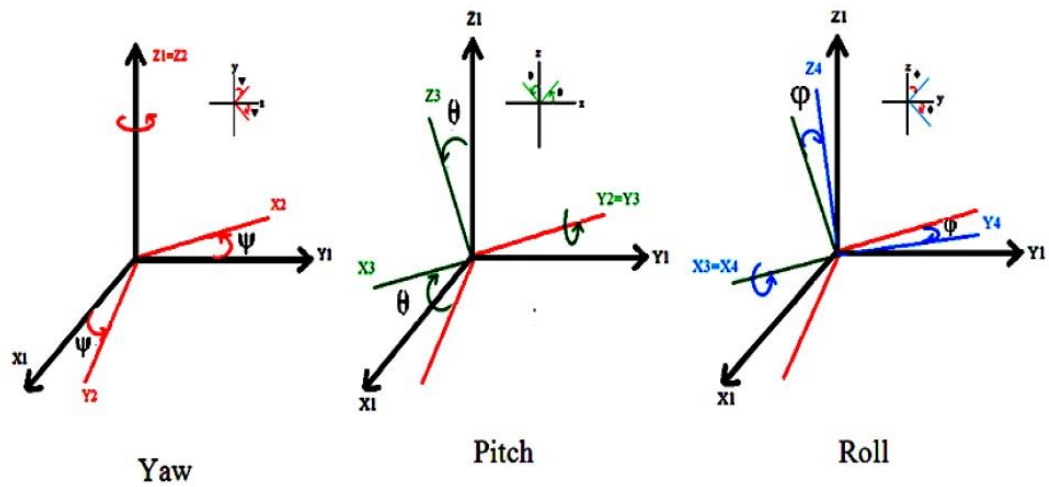


Figura 2- Rotação dos eixos (Fonte: Vianna (2007))

Temos,

$$R_x(\phi) = \begin{bmatrix} 1 & 0 & 0 \\ 0 & c\phi & s\phi \\ 0 & -s\phi & c\phi \end{bmatrix}, \text{ matriz de rotação de um ângulo } \phi \text{ em torno do eixo } x, \text{ no}$$

sentido horário.

$$R_y(\theta) = \begin{bmatrix} c\theta & 0 & -s\theta \\ 0 & 1 & 0 \\ s\theta & 0 & c\theta \end{bmatrix}, \text{ matriz de rotação de um ângulo } \theta \text{ em torno do eixo } y, \text{ no}$$

sentido anti-horário.

$$R_z(\psi) = \begin{bmatrix} c\psi & -s\psi & 0 \\ s\psi & c\psi & 0 \\ 0 & 0 & 1 \end{bmatrix}, \text{ matriz de rotação de um ângulo } \psi \text{ em torno do eixo } z, \text{ no}$$

sentido anti-horário.

A matriz de rotação corresponde para cada eixo em função dos ângulos de Tait-Brijan, representado na equação a seguir

$$R = [R_x(\phi) \cdot R_y(\theta) \cdot R_z(\psi)] \quad (2.7)$$

Assim temos

$$R = \begin{bmatrix} c\psi c\theta & c\psi s\theta s\psi + s\psi c\phi & c\psi s\theta c\phi - s\psi s\phi \\ -s\psi c\theta & -s\psi s\theta s\phi + c\psi c\phi & -s\psi s\theta c\phi - c\psi s\phi \\ -s\theta & c\theta s\phi & c\theta c\phi \end{bmatrix}$$

A cinemática de rotação pode ser obtida a partir da relação entre a matriz de rotação e o seu derivado com uma matriz simétrica de inclinação

$$\begin{bmatrix} \dot{\phi} \\ \dot{\theta} \\ \dot{\psi} \end{bmatrix} = \begin{bmatrix} 1 & s\phi \tan\theta & c\phi \tan\theta \\ 0 & c\phi & -s\phi \\ 0 & s\phi \sec\theta & c\phi \sec\theta \end{bmatrix} \cdot \begin{bmatrix} p \\ q \\ r \end{bmatrix} \quad (2.8)$$

Aplicando as equações de Euler-Lagrange, nas equações do movimento (2.6) e a dinâmica de rotação teremos

$$J(\zeta)\ddot{\zeta} + C(\zeta, \dot{\zeta})\dot{\zeta} = \tau \quad (2.9)$$

Onde,

$$J = \begin{bmatrix} 1 & 0 & -s\theta \\ 0 & c\phi & s\phi c\theta \\ 0 & -s\phi & c\phi c\theta \end{bmatrix}^t \cdot \begin{bmatrix} I_{xx} & 0 & 0 \\ 0 & I_{yy} & 0 \\ 0 & 0 & I_{zz} \end{bmatrix} \cdot \begin{bmatrix} 1 & 0 & -s\theta \\ 0 & c\phi & s\phi c\theta \\ 0 & -s\phi & c\phi c\theta \end{bmatrix}$$

$$C(\zeta, \dot{\zeta}) = \begin{bmatrix} C_{11} & C_{12} & C_{13} \\ C_{21} & C_{22} & C_{23} \\ C_{31} & C_{32} & C_{33} \end{bmatrix} \cdot \begin{bmatrix} \dot{\phi} \\ \dot{\theta} \\ \dot{\psi} \end{bmatrix}$$

Estas equações podem ser encontradas nos artigos propostos por [3] e [8], validando a análise exposta neste trabalho.

3 Conclusão

Um estudo bibliográfico sobre os conceitos de modelagem dinâmica foi realizado para obtenção das equações do movimento de um

quadroter do tipo Xquad. Considerando que tal movimento é gerado pela ação de quatro motores rotativos. Ocorrendo a realização de três movimentos possíveis, rolagem, arfagem e guinada. O principal objetivo deste trabalho foi realizar a modelagem matemática da dinâmica do quadroter. O modelo dinâmico foi determinado satisfatoriamente mediante o formalismo de Euler-Lagrange, que permite a determinação do movimento do sistema físico de um corpo.

As equações a partir deste método apresentaram uma não linearidade, porém é possível linearizar o modelo ao redor de um ponto de equilíbrio. Isso tornará o problema mais simplificado. Percebe-se uma semelhança entre os resultados expostos nas literaturas estudadas e as equações obtidas, no entanto nosso trabalho enfatiza a modelagem matemática da sua estrutura. Trabalhos futuros poderia implementar as equações em um software de simulação, por exemplo Matlab/Simulink e estudar as técnicas de controle para esse tipo de veículo aéreo, por exemplo testar com técnica de controle PID (Proporcional Integral Derivativo).

Referências

- [1] A. J. Gomes, Controle de forças de manipuladores robóticos, Dissertação de Mestrado em engenharia de eletrotécnica e de computadores, Universidade do Porto, (1994).
- [2] D. A. Wells, Lagrangian Dynamics, McGraw-Hill Book company, (1967).
- [3] E. Balasubramanian and R. Vasantharaj, Dynamic Modeling and Control of Quad Rotor, International Journal of Engineering and Technology, vol.5, 63-69, (2013).
- [4] G. Vianna, Modelado y control de un helicóptero Quadroter, Masters dissertation in engineering, Universidad de Sevilla, (2007).
- [5] J. C. Paula, Desenvolvimento de um VANT do tipo Quadrirrotor para obtenção de imagens aéreas em alta definição, Dissertação de Mestrado, UFPR, (2012).
- [6] L. Meirovitch, Methods of Analytical Dynamics, INC, (1970).
- [7] S. K. Kim and D. M. Tilbury, Mathematical modeling and experimental identification of a model helicopter, Proceedings of the AIAA Modeling and Simulation Technologies Conference and Exhibit, Boston, MA, USA, p. 203–213, (1998).
- [8] T. Bresciani, Modeling, Identification and control of a Quadroter Helicopter, Masters dissertation in control, Lund University (2008).